

## ジスチリルピラジン類

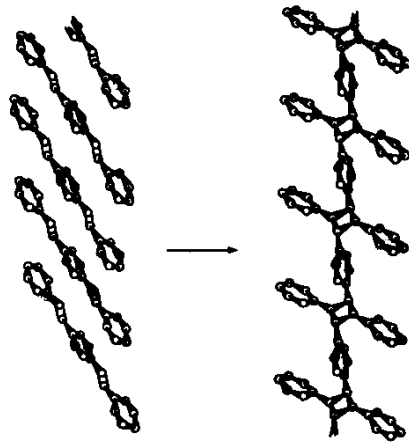
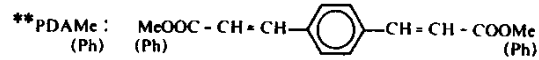
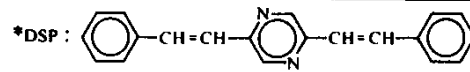


図 7.8 ジスチリルピラジン ( $\alpha$  相) 結晶の光重合化

表 7.2 固相光重合化反応におけるモノマーとポリマーの単位格子の比較

化合物	空間群	$a$ ( $\alpha$ )	$b$ ( $\beta$ )	$c$ (/nm) ( $\gamma$ ) ( $^\circ$ )	二重結合間 距離/nm
2,5-ジスチリルピラジン(DSP)*					
( $\alpha$ 相)					
モノマー	<i>Pbca</i>	2.0638	0.9599	0.7655	0.3939
ポリマー		1.836	1.088	0.752	
1,4-フェニレンジアクリル酸ジメチルエステル(PDAMe)**					
モノマー	$P\bar{1}$	0.7148	0.8382	0.5844	0.3957
		(98.97)	(116.85)	(78.06)	
ポリマー	$P\bar{1}$	0.782	0.742	0.604	
		(107.8)	(106.0)	(78.8)	
1,4-フェニレンジアクリル酸ジフェニルエステル(PDAPh)**					
モノマー	$P2_1/c$	0.6917	1.8584	0.7557	0.3917
			(101.87)		
ポリマー	$P2_1/c$	0.750	1.73	0.750	
			(102.0)		



## ジアセチレン類

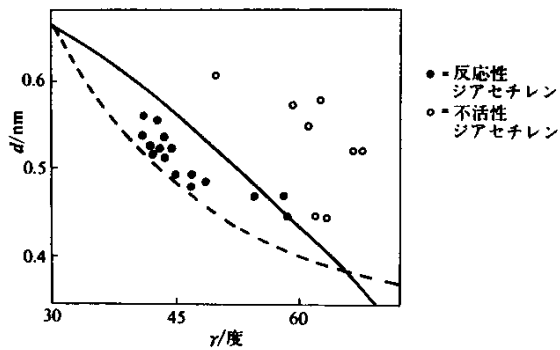
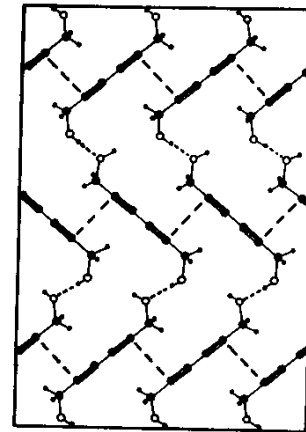


図 7.10 ジアセチレンの固相重合が可能な隣接分子間配向 ( $d$  と  $\gamma$  の定義は図 7.9 参照)



- = 炭素
- = 酸素
- = 水素
- = 水素結合
- .-.- = 重合化で形成される結合

図 7.20 2,4-ヘキサジインジオールの結晶構造 (水素結合による配向効果の例)

## Crystal Engineering

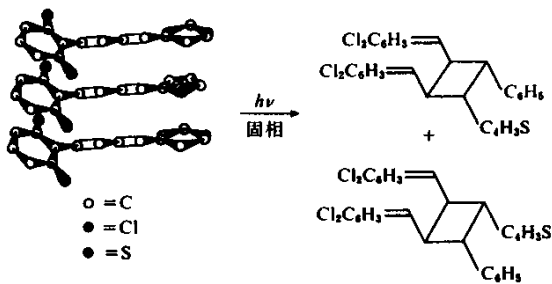


図 7.17 ジクロロフェニルを置換基にもったブタジエン化合物の固相二量化反応 (ジクロロ則の実例)

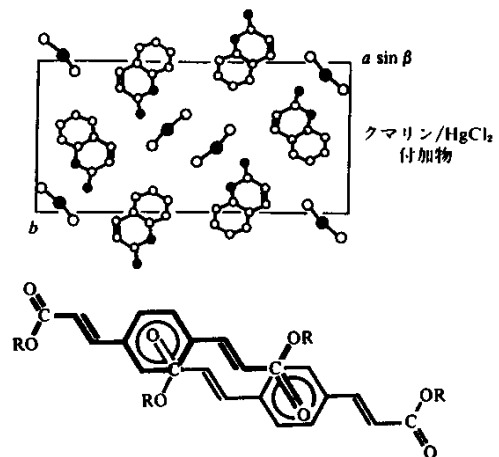


図 7.19 フェニレンジアクリル酸結晶中の隣接分子間配向